

円柱に作用する不規則波力の統計的解析

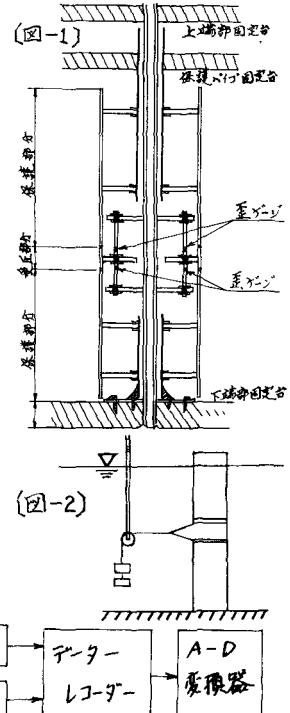
大阪大学工学部 正員 鹿木 亨

大阪大学工学部 学生員 ○中村孝幸

1. まえがき 従来円柱パイルに作用する波力の算定は、主として規則波を対象にした研究に多くて Morison の波力算定式が用いられてきた。しかし、この算定式の中には含まねばならない抵抗力係数 C_D 、慣性係数 C_M の詳細は非定常流中ににおいてはその確定的なものがなく、更に規則波により求まる C_D 、 C_M の値が、一般的な不規則波に適用できるかどうかが確認されていない。また、局部波力の測定値が小さく、この C_D 及び C_M の水深方向における変動も検証された例がない。このような観点から、本研究では、規則波及び不規則波を対象にして円柱パイルに作用する部分波力を測定し、その水深方向分布を求め、その波力測定値より Morison の波力式、微小振幅波理論を仮定して、規則波力の C_D 、 C_M 値、不規則波力についてはスペクトル解析を含む統計的解析により C_D 、 C_M 値を求める。本報では、不規則波が円柱に作用した場合のうらとくに慣性力の支配的となる場合のみを取り扱い、水深方向における慣性係数の変動を明らかにすると共に Peppé の実験結果による波力の非線形性について検討する。

2. 実験装置と実験方法 実験は、高さ 15m、幅 70cm、長さ 30m の二次元水槽を用いて行った。水槽の一端には不透過性パネルを用いて不規則波を発生させる造波機が設置されており、他端には勾配 1/4 の消波工が設けられる。波力測定用円柱パイプは、造波板より 1.2m の位置で、水槽中央部に設置した。円柱パイプは、外径 28cm と 4.2cm の複ビューアーを用い、部分波力が測定できようように受圧部（高さ 5cm）と受圧部上下の保護部分から成る。波力計の詳細を、図-1 に示す。この波力計の空中國有振動数は、22Hz 以上であり、このことから十分に波力の測定が行えるものと思われる。波力計のキャリブレーションは、図-2 に示すよう位移計を用いて水槽において浮遊荷重 2kg の鐘を 100mm まで漸増させて行ない、良好な直線性を得た。水深は 70cm を保持し、波力は受圧部中心が水面より 59m、46m、32.5m の位置において測定し、受圧部以下常に水面下にありようとした。水面変動は、円柱パイプ中心位置真横 13m の位置を中心位置変動 1m 附近で測定し、それらのスペクトルの形状、パワーが、(1) と近似していふことから、波力との位相が保たれないパイプ横断面記録を用いて以下の解析を行った。水面変動及び波力の測定系を図-3 に示す。12-Bass ハーモニカルカット周波数は 5Hz にセッティングしており、采入カット周波数は 10Hz である。

3. 解析方法およびその結果と考察



水面変動 ζ と部分波力 F のスベクトル密度 S_F , S_ζ は 260 秒の同時記録より、ラグタイム 1/10 秒、零相自由度 22 で B-T 法により計算した。波力 F 慣性項が支配的となる場合に下 水面変動 ζ と波力 F 下 微小振幅波理論が仮定されるならば 線形系となり、 S_F と S_ζ の間に下 (1) 式が成立する。

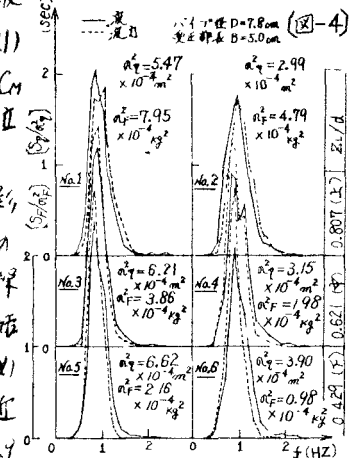
$$S_F(f) = \hat{C}_z^2 \cdot \hat{T}_z(f) \cdot S_{\eta}(f) \quad \text{--- (1)}$$

ここで、 \pm は周波数、 k は波数、 Z は水底より受圧部下端までの距離、 B は受圧部長さ、 g は重力加速度、 C_1 は式(2)式で与えられ、 C_2 は慣性係数、 ρ は流体密度、 D は 10^4 Pa

$$C_2 = C_M \cdot g \cdot \pi D^2 / 4 \quad \dots \dots \dots \quad (2)$$

径である。微小振動波理論を仮定した(1)式を用いて波力ベクトル及び水面変動ベクトルの実測値より C_m 値が求められる。

本報で(1)、実験を行つてT=51ケースの中で、慣性項の支配的となる経路maのケースのうち代表的T=6ケースの結果に(1)と検討を進めるが、図-4はこの $\zeta_{\text{sp}}(f)$ と $\zeta_{\text{sp}}(f)$ をそれを中心とするスペクトルで除してスペクトル密度を示す。この図より、受圧部が水面に近づく程、波力スペクトルのパワーが高周波側に移行していくことが認められる。(1)式中の $T_2(f)$ の周波数変化を求めたのが図-5であるが、この $\zeta_{\text{sp}}(f)$ の変化とともに $T_2(f)$ のピークの変化が $S(f)$ のピーク移行と併せてあらわれにものと考えられる。可分れら、受圧部位置が下部にあると $T_2(f)$ のピークは、0.7Hz附近にあり、低周波側が鋭く立ち上り、高周波側は漸減している。また、中央部については、 $T_2(f)$ のピークは、1.0Hz附近にあり、本実験で用いた波のスペクトルのピークとはほぼ一致し、波力スペクトルではそれより強調されることがある。上部にあるときは、 $T_2(f)$ のピークは1.5Hz附近にあり、波のスペクトルが高周波側に移行されることがわかる。つぎに(1)式より求めた C_m 値を周波数領域で示したものが、図-6であり C_m 値は、スペクトル密度の比較的大きな領域で、以下各水深位置において一定の値となり、1.9~2.4の範囲にある。低周波側、



~2.1. 中央部で2.0~2.2、下部で2.2
~2.4に低下する。TFより上記測定値
が慣性項の支配的であることの検
証は、波力の確率分布及伏流大波力
の確率分布を調べて検証したこと
を付記しておく。

